

ФЕДЕРАЛЬНОЕ ГОСУДАРСТВЕННОЕ БЮДЖЕТНОЕ
ОБРАЗОВАТЕЛЬНОЕ УЧРЕЖДЕНИЕ ВЫСШЕГО
ОБРАЗОВАНИЯ
"САНКТ-ПЕТЕРБУРГСКИЙ ГОСУДАРСТВЕННЫЙ УНИВЕРСИТЕТ"
(СПбГУ)

Образовательная программа магистратуры "Современная
математика"



Отчёт по курсу
«Методы и алгоритмы эвристического поиска»:
проект «Декомпозиция при поиске
суб-оптимальных решений (R^* , MRA^*)»

Команда **BetterThan**:
Искандер Азангулов,
Евгений Вагин

Руководитель:
Яковлев Константин Сергеевич

Санкт-Петербург
2021 год

Содержание

1	Суб-оптимальные алгоритмы.	4
2	R*	5
3	MRA* (Multi-Resolution A*)	6
4	Эксперименты	7
5	Выводы	15

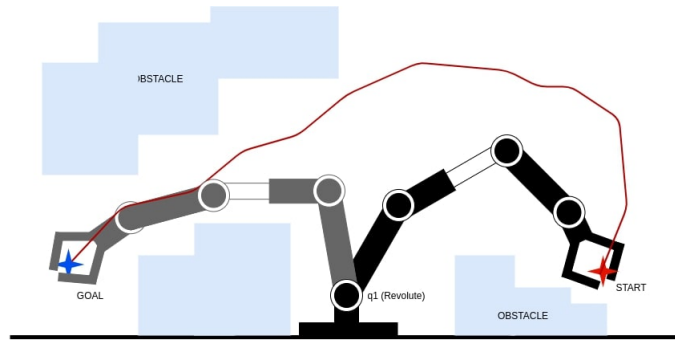


Рис. 1: Пример задачи поиска пути. Требуется переместить манипулятор из *start* в *goal*

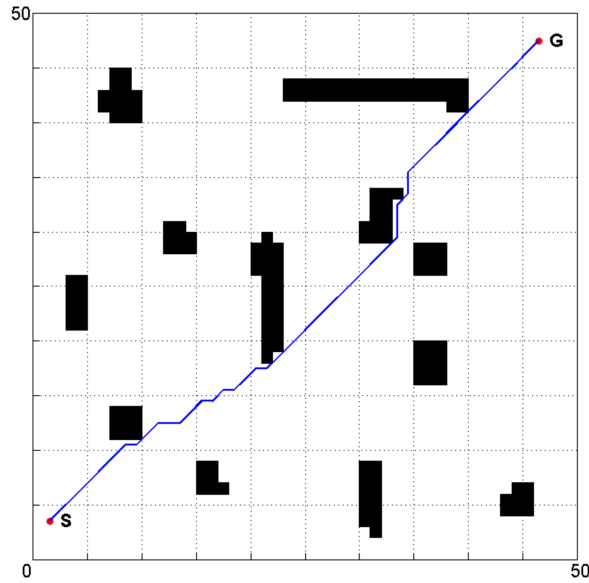


Рис. 2: Пример оптимального пути на клетчатой решетке.

Задача планирования траекторий

Задача планирование траекторий — это вычислительная задача поиска последовательности допустимых конфигураций, которая перемещает объект от источника к месту назначения. Как подзадача данная задача встречается при программировании роботов, в компьютерных играх, в вычислительной геометрии.

Задача планирования при помощи дискретизации пространства конфигураций, сводится к задаче поиска оптимального пути во взвешенном графе $G = (V, E)$. Множество вершин V соответствует всевозможным конфигурациям, а множество ребер E трудозатратам при переходе между конфигурациями. Соответственно задача о поиске конфигурации сводится к задаче о поиске пути во взвешенном графе из изначальной позиции v_{start} к искомой v_{goal} . Обычно построенный граф является не случайным и мы априори знаем оценку $h(u, v)$ на расстояния между вершинами. Данную оценку называют эвристической функцией. Соответственно задача сводится к нахождению кратчайшего пути $path_{opt} = (v_0 = v_{start}, v_1, \dots, v_n = v_{goal})$, где $len(path_{opt}) = \min_{path} len(path)$

Мы ограничимся случаем, когда построенный граф является подграфом регулярной решеткой в \mathbb{Z}^d . В этом случае в качестве эвристической функции обычно используется какая-нибудь стандартная метрика, например евклидова.

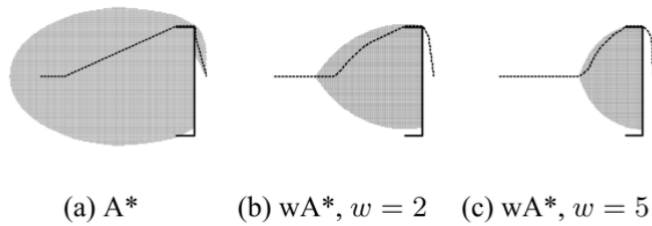


Рис. 3: WA^* алгоритм. Зависимость количества раскрытых клеток от w

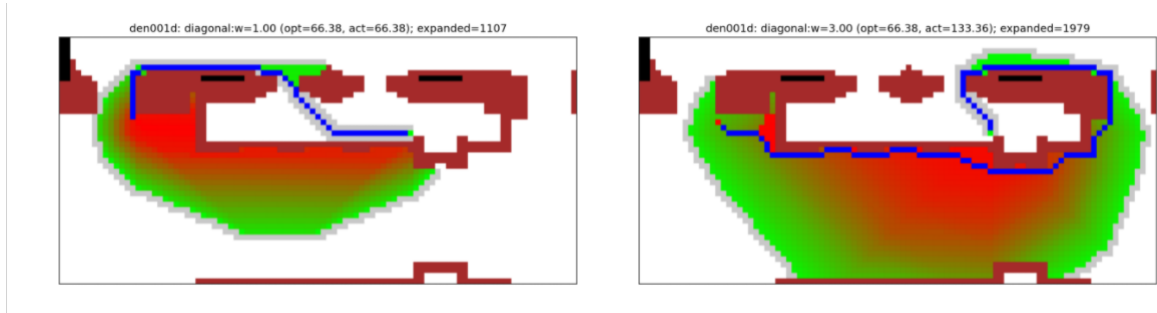


Рис. 4: WA^* алгоритм. Увеличение w привело к дольшей работе алгоритма.

1 Суб-оптимальные алгоритмы.

Отметим, что не во всех случаях необходимо находить именно кратчайший путь между вершинами v_{start} и v_{goal} . Во многих случаях достаточно найти путь который не более чем в w раз хуже чем оптимальный. т.е. $len(path) \leq w(path_{opt})$. Так как это накладывает куда меньшие ограничения на путь, соответственно, существует надежда найти его куда быстрее. Алгоритмы находящие такие пути будем называть суб-оптимальными.

WA^*

Классическим примером суб-оптимального алгоритма является WA^* . Его описание может быть найдено на [Википедии](#).

Отметим, несколько проблем данного алгоритма:

- Количество исследуемых вершин хоть и уменьшается все равно остается квадратичным от размера поля.(см. [3](#))
- Большая зависимость от эвристической функции. (см. [4](#))

Декомпозиция

Для преодоления данных проблем можно использовать методы основанные на декомпозиции. Идея данных методов заключается в построении вспомогательного графа $G' = (V', E')$. Вершины V' – это подмножество вершин изначального графа, а ребра E' это некоторые пути между вершинами в изначальном графе. Путь между v_{goal} и v_{start} ищется уже в новом графе. Очевидно, что по найденному пути легко можно восстановить путь в исходном графе, если мы знаем соответствие между ребрами в E' и путями в G .

Данный подход исправляет недостатки перечисленные выше. Во-первых, так как ребра это пути, мы за один раз перемещаемся сразу на несколько клеток. Во-вторых, так как мы сами выбираем пути в E' , влияние эвристики уменьшается.

Мы сравним два алгоритма основанных на WA^* и использующих декомпозицию. R^* использующий декомпозицию построенную случайным образом и MRA^* строящий де-

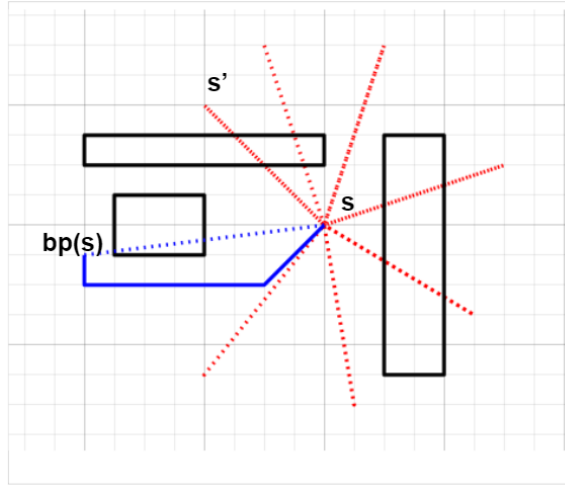


Рис. 5: R^* , к потомкам вершины s ведут красные ребра, синий путь был найден при помощи WA^* с ограничениями.

композицию регулярным образом.

Ниже используются стандартные обозначения используемые при описании A^* алгоритма. Как и в прошлый раз мы отсылаем читателей к [Википедии](#).

2 R^*

$R^*[1]$, как говорилось выше, основан на WA^* . Однако, упрощая, он вместо того чтобы раскрывать непосредственных соседей, соседями считает случайным образом выбранные вершины, на некотором отдалении.

Точнее алгоритм работает следующим образом:

- Во-первых, вместо добавления в $OPEN$ соседних вершин на очередном шаге, при раскрытии вершины s в $OPEN$ мы добавляем K случайных вершин на расстоянии Δ . Путь от s до s' оценивается как $c(s, s') = w \cdot h(s', s)$. И наконец, вершина s' добавляется в $OPEN$ с приоритетом $f(s) = g(s) + c(s, s')$, а её предком объявляется $bp(s') = s$.
- Во-вторых, непосредственно путь между s и $bp(s)$ вычисляется лениво. То есть, только при необходимости раскрыть вершину s . Сам путь между вычисляется при помощи WA^* с ограничением на количество раскрытий. Основываясь на длине найденного пути или минимальной оценке его длины, если путь не найден мы обновляем $c(bp(s), s)$. Если путь найден, мы добавляем её обратно в $OPEN$ с приоритетом $f(s) = g(s) + c(bp(s), s)$. Если же путь не найден, среди вершин у которых есть наследник s , ищется другой предок s' минимизирующий $g(s') + c(s', s)$, s переподвешивается к этой вершине и добавляется в $OPEN$ с приоритетом соответствующим новому предку.
- В-третьих приоритетом вершины в $OPEN$ является пара $(AVOID, f(s))$. Где $AVOID$ принимает значения 0 (False) или 1 (True). Это означает, что если вершина помечена $AVOID$, то мы её раскрываем в последнюю очередь. Вершина помечается $AVOID$ в двух случаях, если оказывается, что $f(s) > w \cdot h(s_{start}, s_{goal})$ или если путь от $bp(s)$ до s не удается найти.

Параметры алгоритма:

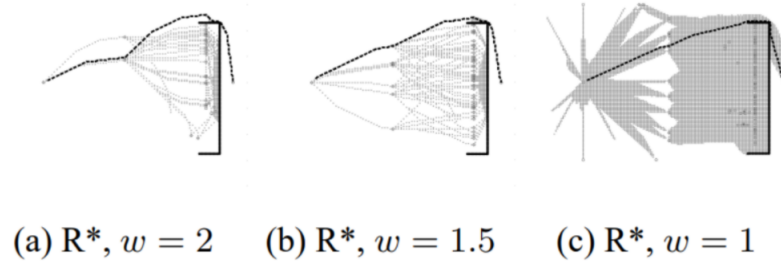


Рис. 6: R^* . Серым отмечены вершины которые были использованы в ходе работы алгоритма.

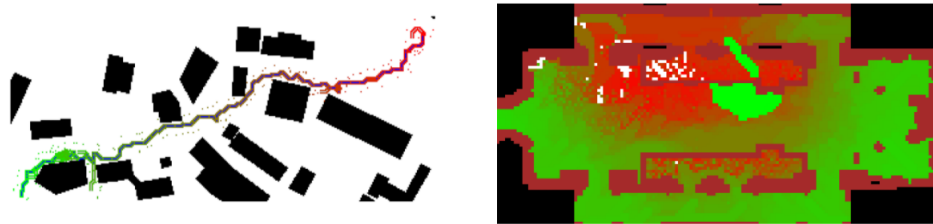


Рис. 7: При маленьком Δ (слева), алгоритм практически не имеет выигрыша. При большом Δ (справа) стены могут оказаться слишком тонкими и алгоритм раскрывает всю карту.

- K – количество соседей вершины s ;
- Δ – расстояние между соседями;
- C – количество раскрытий во вспомогательном WA^* ;
- w – фактор субоптимальности;

Преимущества: кроме преимуществ присущих алгоритмам основанным на декомпозиции мы выделим также, меньший объем используемой памяти, так как нам не нужно хранить промежуточные шаги; доказуемая, почти наивное, субоптимальность, но уже с фактором w^2 .

Недостатки: большая чувствительность к гиперпараметрам, особенно к параметру Δ ; работает не на всех картах, если стены оказались слишком тонкими, то алгоритм может пометить v_{goal} как *AVOID*. В этом случае алгоритм исследует сначала всю карту, вместо того чтобы искать кратчайший путь; в наших экспериментах оказался худшим алгоритмом

3 MRA* (Multi-Resolution A*)

При поиске пути алгоритм зачастую на преодоление открытых пространств тратит столько же времени, сколько и на преодоление закрытых. В свете этого разумно как-то дискретизировать пространство поиска. При этом:

- на малом разрешении поиск более "манёвренный но менее производительный;
- на большом разрешении поиск быстрее исследует карту, но менее манёврен и стабилен.

Алгоритм MRA^* [2] совмещает поиски на разных разрешениях, тем самым позволяя избавиться от недостатков обоих. Для этого мы делаем несколько WA^* поисков в разных разрешениях, поддерживая для каждого свои очереди $OPEN_i$ и $CLOSED_i$, а также ещё

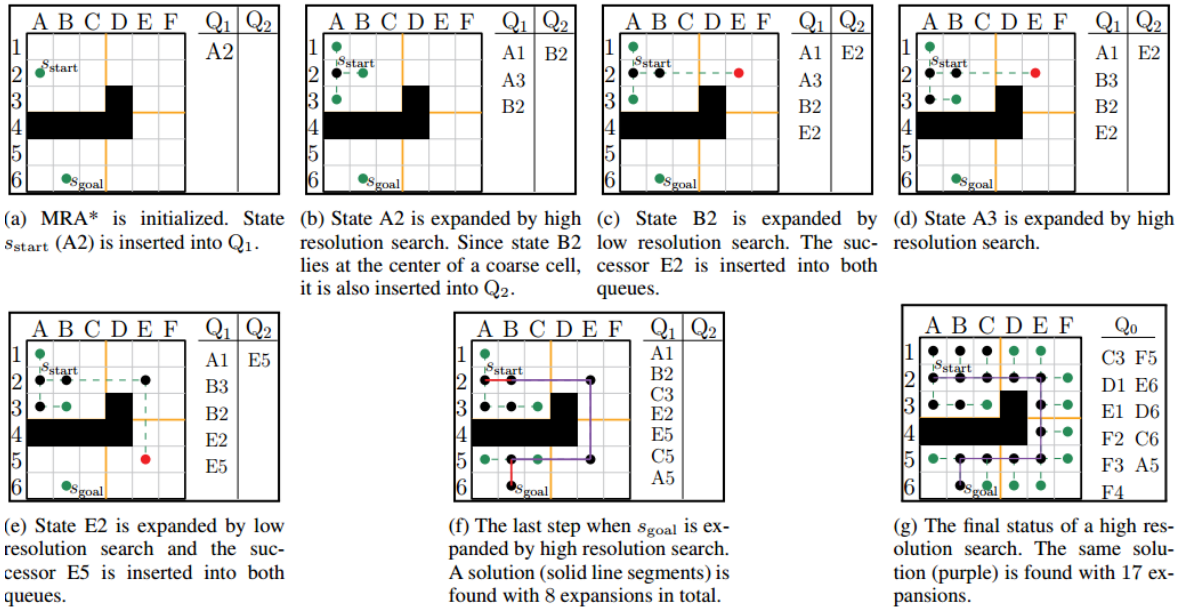


Рис. 8: Пример работы алгоритма MRA*

один дополнительный (якорный) WA^* для обмена состояний между $OPEN_i$. Например, если в качестве разрешений выбрать $\{1, 3\}$, то $WA^*(resolution=3)$ будет обмениваться состояниями с $WA^*(resolution=1)$ в каждой девятой клетке (центр квадрата 3×3). Размеры разрешений должны выбираться нечётными, иначе непонятно, какая клетка должна выбираться в качестве центра.

Таким образом, на каждой итерации алгоритм MRA*:

1. Выбирает очередь i , из которой будет выбрана вершина для раскрытия,
2. Делает раскрытие выбранной вершины,
3. Добавляет в другие очереди $OPEN_j$ раскрытые вершины.

Выбор очереди можно делать разными способами, например, методами обучения с подкреплением, случайно или просто по очереди. В данной работе использовался только последний метод.

Параметры алгоритма:

- w_1 – вес поисков WA^* ,
- w_2 – субоптимальность решения относительно A^* .

4 Эксперименты

Мы сравнивали MRA* и R*, используя в качестве baseline A^* и WA^* . Эксперименты проводились на 8-связных 2D картах из датасета MovingAI: <https://movingai.com/benchmarks/grids.html>. Были выбраны 4 сравнительно разные карты.

Оценивались 3 параметра:

- **mean success rate**: показывает, сколько в среднем алгоритм за определённый лимит времени успел найти маршрутов между **start** и **goal**;
- количество раскрытых нод по длине маршрута: показывает, сколько было раскрыто в среднем узлов на различных длинах маршрута;
- коэффициент субоптимальности по длине маршрута: показывает, во сколько раз найденная длина пути превышает длину оптимального пути.

Код экспериментов доступен в [репозитории](#).

Сравнение алгоритмов

Во всех случаях сравнивались 4 алгоритма:

1. A^*

Algorithm 1 Multi-Resolution A*

```

1: procedure MAIN
2:    $g(s_{start}) = 0; g(s_{goal}) = \infty$ 
3:    $bp(s_{start}) = bp(s_{goal}) = \text{null}$ 
4:   for  $i = 0, \dots, n$  do
5:      $OPEN_i \leftarrow \emptyset$ 
6:      $CLOSED_i \leftarrow \emptyset$ 
7:     if  $i \in \text{GETSPACEINDICES}(s_{start})$  then
8:       Insert  $s_{start}$  in  $OPEN_i$  with  $\text{KEY}(s, i)$ 
9:     while  $OPEN_i \neq \emptyset$  for each  $i \in \{0, \dots, n\}$  do
10:       $i \leftarrow \text{CHOOSEQUEUE}()$ 
11:      if  $OPEN_i.\text{MINKEY}() \leq \omega_2 * OPEN_0.\text{MINKEY}()$  then
12:        if  $g(s_{goal}) \leq OPEN_i.\text{MINKEY}()$  then
13:          Return path pointed by  $bp(g(s_{goal}))$ 
14:        else
15:           $s = OPEN_i.\text{Pop}()$ 
16:           $\text{EXPANDSTATE}(s, i)$ 
17:          Insert  $s$  into  $CLOSED_i$ 
18:        else
19:          if  $g(s_{goal}) \leq \omega_2 * OPEN_0.\text{MINKEY}()$  then
20:            Return path pointed by  $bp(g(s_{goal}))$ 
21:          else
22:             $s = OPEN_0.\text{Pop}()$ 
23:             $\text{EXPANDSTATE}(s, 0)$ 
24:            Insert  $s$  into  $CLOSED_0$ 

```

(a)

Algorithm 2 ExpandState

```

1: procedure  $\text{KEY}(s, i)$ 
2:   if  $i = 0$  then
3:     return  $g(s) + h(s)$ 
4:   else
5:     return  $g(s) + \omega_1 h(s)$ 
6: procedure  $\text{EXPANDSTATE}(s, i)$ 
7:   for all  $s' \in \text{SUCCS}(s, i)$  do
8:     if  $s'$  was never generated then
9:        $g(s') = \infty; bp(s') = \text{null};$ 
10:    if  $g(s') > g(s) + c(s, s')$  then
11:       $g(s') = g(s) + c(s, s'); bp(s') = s$ 
12:    for each  $i \in \text{GETSPACEINDICES}(s')$  do
13:      if  $s' \notin CLOSED_i$  then
14:        Insert/Update  $s'$  in  $OPEN_i$  with  $\text{KEY}(s', i)$ 

```

(b)

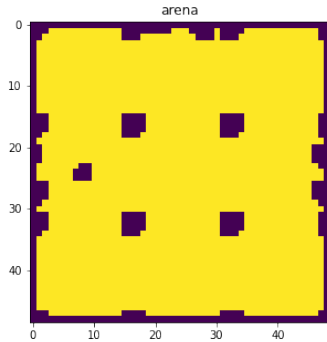
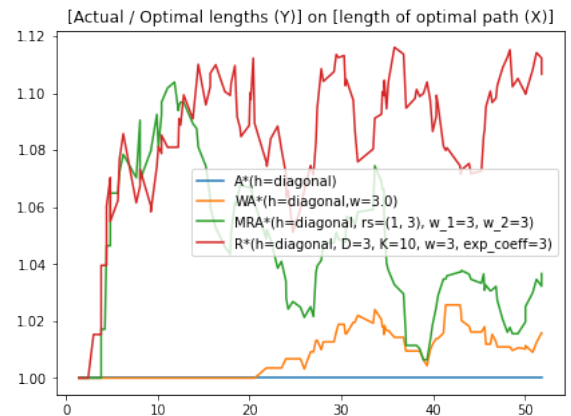
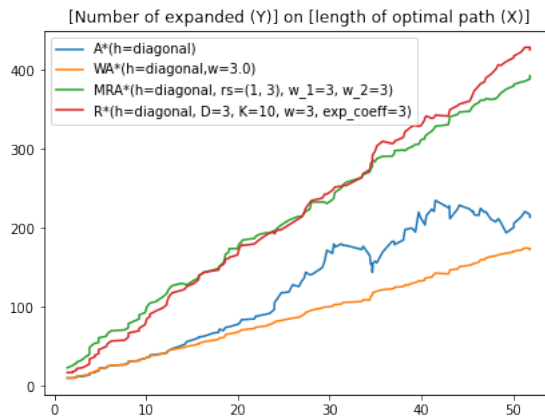
Рис. 9: Псевдокод MRA*

2. $WA^*(\text{weight}=3)$
3. $MRA^*(\text{resolutions}=(1, 3), w_1=3, w_2=3)$
4. $R^*(D=3, K=10, w=3, \text{exp_coeff}=3)$

В качестве эвристики использовалась диагональная метрика: $h(dx, dy) = \sqrt{2} \cdot \min(dx, dy) + |dx - dy|$, где $dx = |x_1 - x_2|, dy = |y_1 - y_2|$.

ARENA

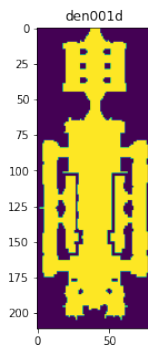
Небольшая закрытая карта.

**Результаты:**

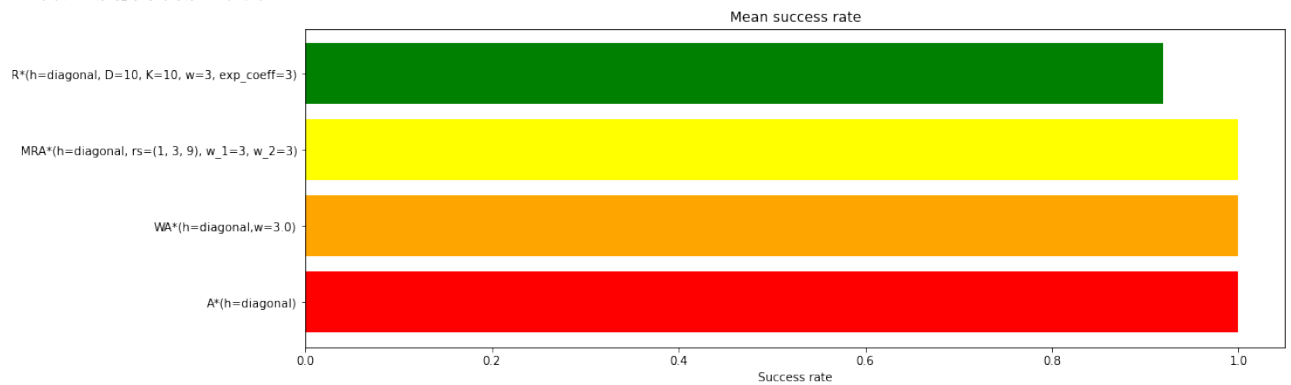
Все тесты прошли успешно, так что **Mean success rate** не приводится. Ожидаемо, WA^* обрабатывает лучше чем R^* и MRA^* .

DEN001D

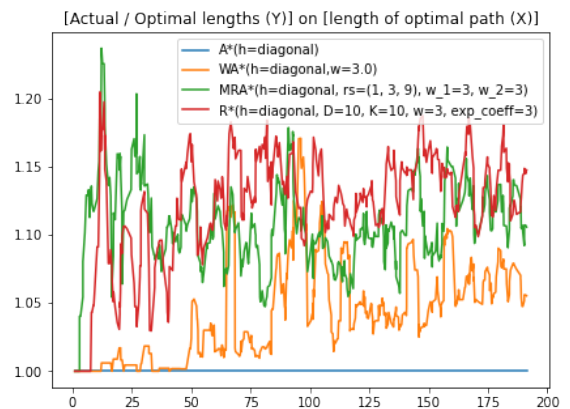
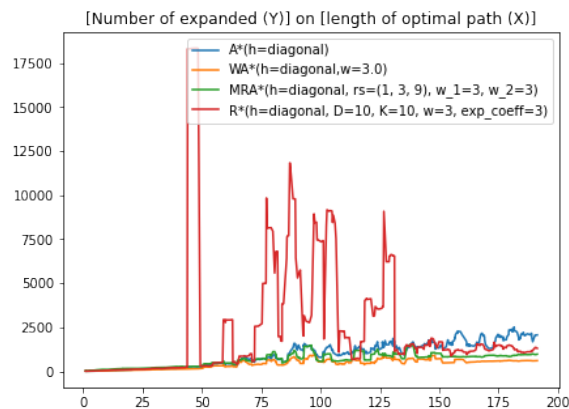
Ещё одна небольшая закрытая карта, структурно несколько более сложная чем ARENA.



Mean success rate:



Результаты:



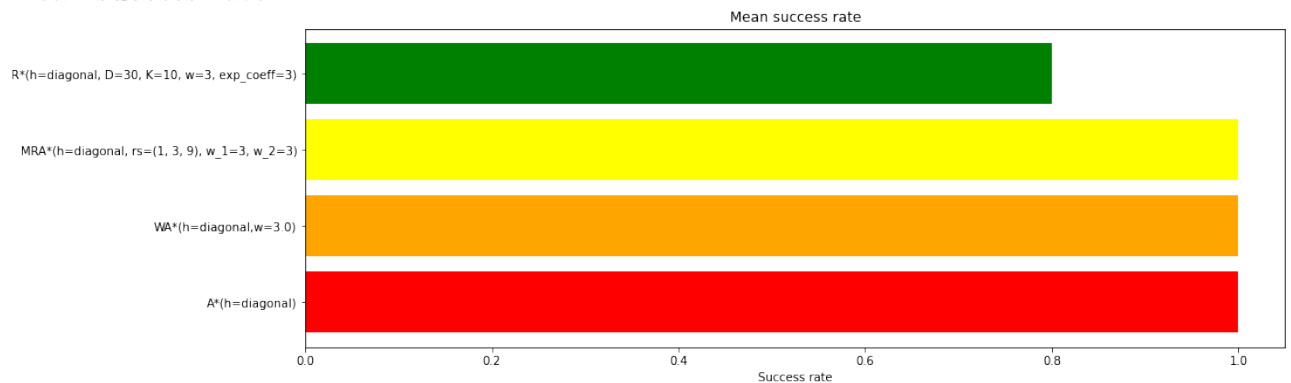
Результаты как и для ARENA, не считая того, что R^* стал менее стабильно работать из-за препятствий.

MOSCOW

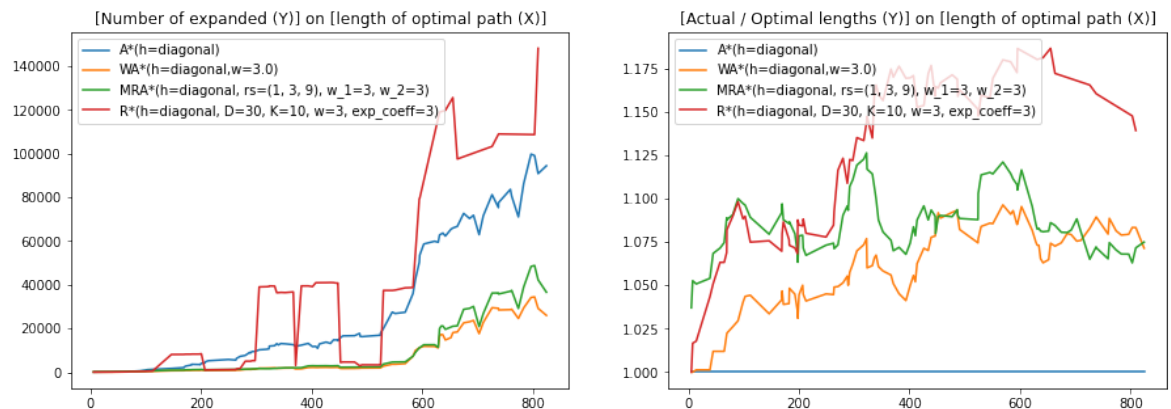
Большая открытая карта. Лимит по времени – 10 секунд.



Mean success rate:



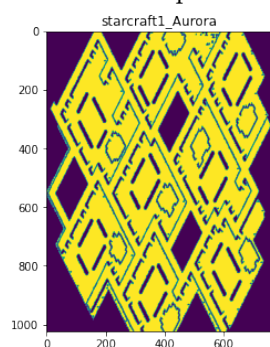
Результаты:



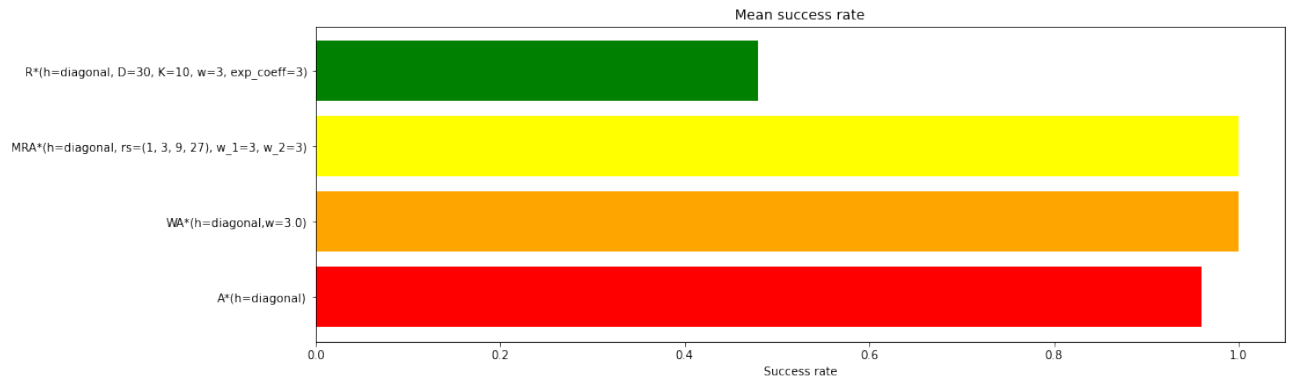
Здесь мы видим, что MRA* работает как и WA*. Судя по всему, выбор очереди с помощью обучения с подкреплением позволил бы MRA* превзойти WA*. При этом мы видим, что MRA* для больших расстояний находит более короткий путь, чем WA*.

STARCRAFT

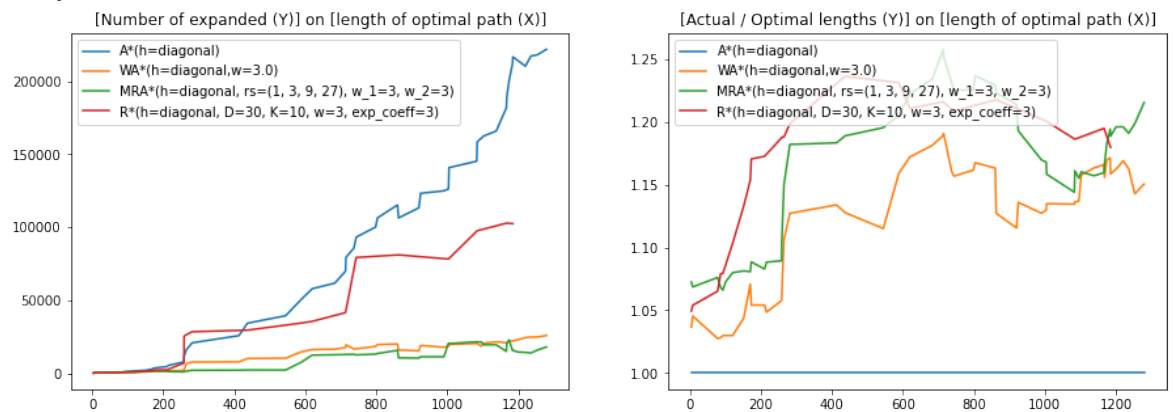
Большая закрытая карта. Лимит по времени также 10 секунд.



Mean success rate:



Результаты:



MRA^* по сравнению с WA^* работает несколько хуже, чем в предыдущем эксперименте, что ожидаемо – на закрытых картах реже можно делать большие размашистые шаги.

Зависимость от гиперпараметров

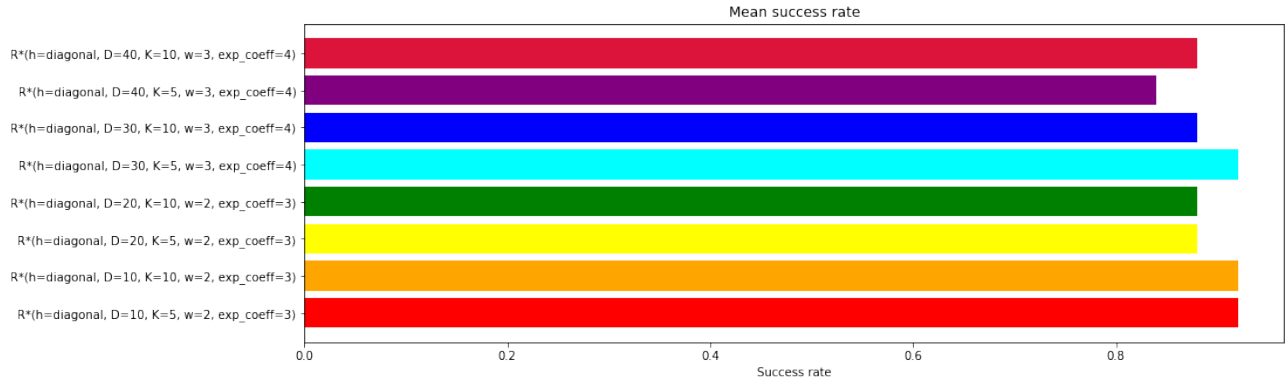
Гиперпараметры алгоритма проверялись на карте MOSCOW с лимитом по времени в 6 секунд.

R*

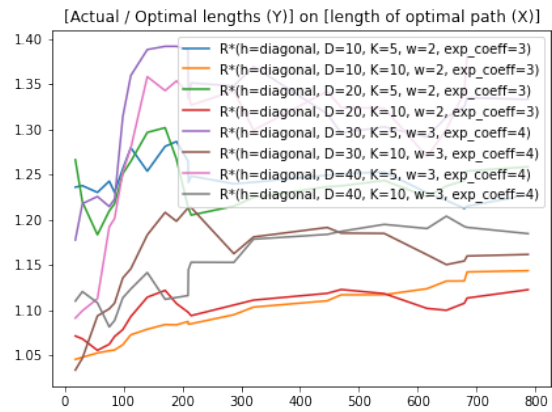
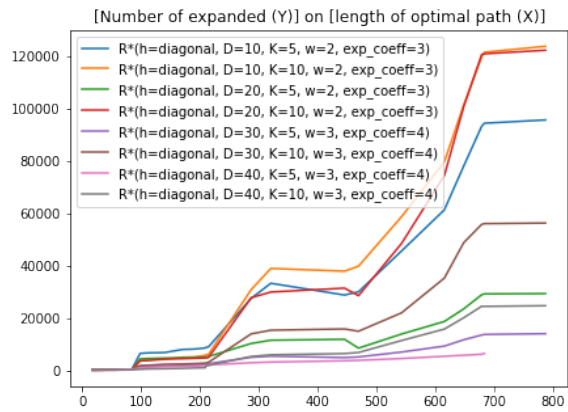
Проверяемые параметры:

D	K	w	exp_coeff
10	5	2	3
10	10	2	3
20	5	2	3
20	10	2	3
30	5	3	4
30	10	3	4
40	5	3	4
40	10	3	4

Mean success rate:



Результаты:

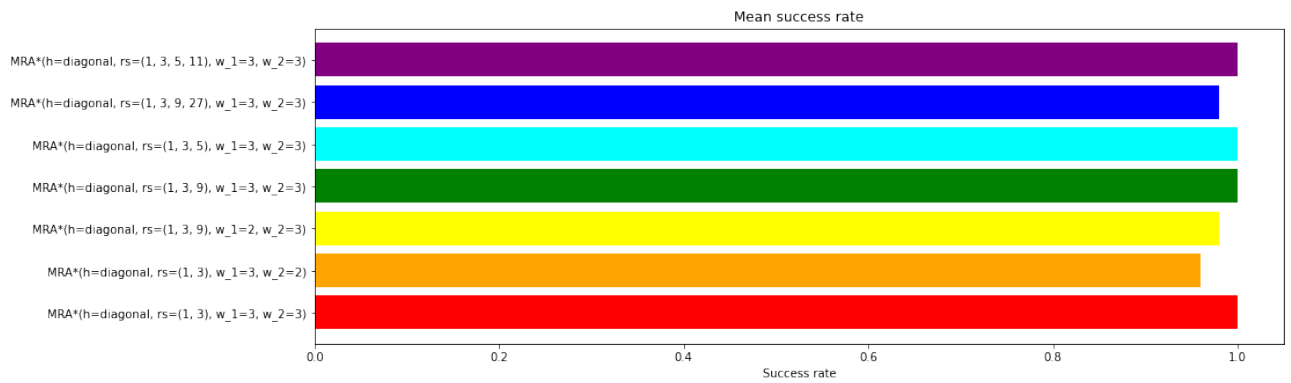


MRA*

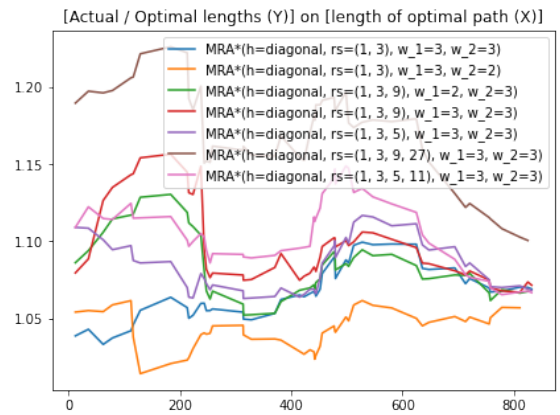
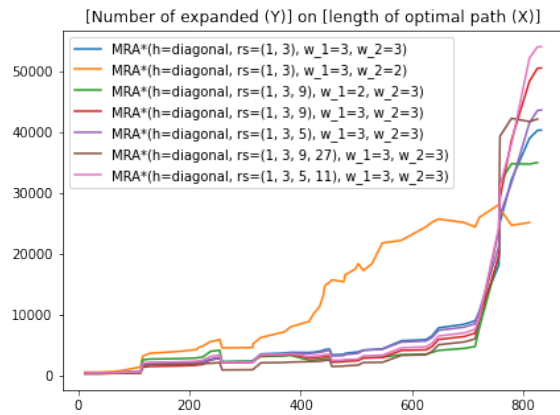
Проверяемые параметры:

resolutions	w ₁	w ₂
{1, 3}	3	3
{1, 3}	3	2
{1, 3, 9}	2	3
{1, 3, 9}	3	2
{1, 3, 5}	3	2
{1, 3, 9, 27}	3	2
{1, 3, 5, 11}	3	2

Mean success rate:



Результаты:



Визуализация работы алгоритмов

На визуализации

- чёрным отмечены препятствия;
- белым – проходимые области карты;
- синим – итоговый выбранный путь;
- серым – CLOSED;
- зелёным и красным – вершины из OPEN:
 - ближе к красному – добавленные ближе к началу поиска,
 - ближе к зелёному – добавленные ближе к концу поиска.

$R^*(h=\text{diagonal}, D=30, K=5, w=3, \text{exp_coeff}=4)$: op=739, cl=916, subopt=1.33



$MRA^*(h=\text{diagonal}, rs=(1, 3), w_1=3, w_2=3)$: op=359, cl=1763, subopt=1.02



На визуализации можно заметить, что алгоритм

- сначала размашисто исследует карту, быстро приблизившись к **goal**;
- уточняет путь, покуда не выполнена оценка на оптимальность.

5 Выводы

На небольших расстояниях WA^* работает лучше всех и оптимально, что ожидаемо – если препятствий между **start** и **goal** почти нет, эффективнее всего просто максимально жадно двигаться к цели. MRA^* при этом тратит дополнительное время на обмен состояний между очередями.

На больших расстояниях MRA^* работает лучше всех, R^* работает хуже всех: начинает сказываться «умение» MRA^* двигаться по карте в нескольких режимах (быстром и детальном). Что касается R^* , то нам не удалось добиться от него сравнимой с остальными алгоритмами производительности.

Дополнительные комментарии к R^* :

- R^* довольно «дисперсионный», то есть результат достаточно сильно зависит от случайного выбора алгоритмом направления;
- гиперпараметры R^* требуют достаточно тонкой настройки.

Дополнительные комментарии к MRA^* :

- MRA^* хорошо работает на открытых картах, где часто полезны размашистые шаги на большое количество клеток;
- разрешения надо выбирать таким образом, чтобы как можно больше центров пересекалось – иначе очереди будут реже обмениваться состояниями, что плохо скажется на производительности;

Список литературы

- [1] Likhachev Maxim, Stentz Anthony. R^* Search. — Vol. 1. — 2008. — 07. — P. 344–350. — URL: https://www.cs.cmu.edu/~maxim/files/rstar_aaai08.pdf.
- [2] Du Wei, Islam Fahad, Likhachev Maxim. Multi-Resolution A^* . — 2020. — 04. — URL: <https://arxiv.org/abs/2004.06684>.